

## اثر کودهای زیستی و نانواسیدروی بر فرآیند انتقال مجدد و برخی شاخص‌های رشدی

### تریتیکاله در شرایط محدودیت آبی

یونس خیری‌زاده آروق<sup>۱</sup>، رئوف سید‌شریفی<sup>۲\*</sup>، محمد صدقی<sup>۳</sup> و مرتضی برمکی<sup>۴</sup>

(۱) دانشجوی دکتری گروه زراعت و اصلاح نباتات، دانشگاه محقق اردبیلی، اردبیل، ایران.

(۲ و ۳) دانشیار گروه زراعت و اصلاح نباتات، دانشگاه محقق اردبیلی، اردبیل، ایران.

(۴) استادیار گروه زراعت و اصلاح نباتات، دانشگاه محقق اردبیلی، اردبیل، ایران.

این مقاله برگرفته از رساله دکتری می‌باشد.

\* نویسنده مسئول: Raouf\_ssharp@yahoo.com

تاریخ پذیرش: ۹۳/۰۹/۰۳

تاریخ دریافت: ۹۳/۰۶/۱۵

### چکیده

به منظور بررسی اثر کودهای زیستی و نانواسیدروی بر فرآیند انتقال مجدد و برخی شاخص‌های رشدی تریتیکاله در شرایط محدودیت آبی، آزمایشی به صورت فاکتوریل در قالب طرح پایه بلوک‌های کامل تصادفی با سه تکرار در مزرعه پژوهشی دانشگاه محقق اردبیلی اجرا گردید. فاکتورهای مورد بررسی، آبیاری کامل به عنوان شاهد، آبیاری تا ۵۰ درصد مراحل سنبله‌دهی و آبستنی، کودهای بیولوژیک در چهار سطح (عدم کاربرد کودهای بیولوژیک، کاربرد مایکوریزا<sup>۱</sup>، کاربرد توأم باکتری‌های سودوموناس<sup>۲</sup> و ازتوپاکتر<sup>۳</sup>، کاربرد توأم مایکوریزا و باکتری‌های محرك رشد) و محلول‌پاشی با نانواسیدروی در چهار سطح (صفر، ۰/۳، ۰/۶ و ۰/۹ گرم در لیتر) شامل می‌شدند. مقایسه میانگین‌ها نشان داد بالاترین عملکرد دانه (۶۶۳/۲۶ گرم در متربربع)، زیست‌توده کل (۲۵۲۳/۳۳ گرم در متربربع) و حداکثر شاخص سطح برگ (۶/۲) در حالت کاربرد توأم باکتری‌های محرك رشد و مایکوریزا، محلول‌پاشی ۰/۹ گرم در لیتر نانواسیدروی و آبیاری کامل به دست آمد. بیشترین انتقال مجدد از ساقه (۸۱/۳ گرم در متربربع) و انتقال مجدد از کل اندام هوایی (۱۰۷/۶۸ گرم در متربربع) در حالت آبیاری تا ۵۰ درصد مرحله آبستنی، عدم کاربرد کودهای بیولوژیک و عدم محلول‌پاشی با نانواسیدروی مشاهده گردید. به نظر می‌رسد محلول‌پاشی با نانواسیدروی و کاربرد توأم مایکوریزا با باکتری‌های محرك رشد می‌تواند در بهبود عملکرد، زیست‌توده کل و شاخص سطح برگ در شرایط محدودیت آبی مؤثر باشد.

واژه‌های کلیدی: تریتیکاله، زیست‌توده کل، شاخص سطح برگ و مایکوریزا.

<sup>1</sup> Mycorrhiza

<sup>2</sup> Psedomonas

<sup>3</sup> Azotobacter

## مقدمه

تنش آبی به عنوان مهم‌ترین فاکتور محدودکننده رشد گیاهان می‌باشد. اثر تنش آبی بر گیاهان به عوامل متعددی نظیر ویژگی‌های ژنتیکی، مرحله رشدی و شدت تنش بستگی دارد (Song *et al.*, 2011). در نظامهای کشاورزی پایدار استفاده از کودهای زیستی از اهمیت ویژه‌ای در افزایش تولید، حفظ کیفیت خاک و کاهش اثر تنش برخوردار است (Abraham *et al.*, 2007). کود زیستی از یک یا چند میکروارگانیسم مفید به همراه مواد نگهدارنده و یا فرآوردهای متابولیکی ساخته شده است که با هدف تأمین عناصر غذایی گیاهان، به پایداری محیط زیست کمک می‌کند (O'connell, 1992). اثر مثبت باکتری‌های محرک رشد بر رشد گیاهان با تولید هورمون‌های گیاهی، ثبیت نیتروژن، حل کردن فسفات آلی و معدنی، سنتز آنتی‌بیوتیک‌ها و آنزیم‌ها در ارتباط است (Karakurt and Kotan, 2011). مایکوریزا یک همزیستی بین گروهی از قارچ‌های خاکی با گیاهان است که موجب بهبود وضعیت تغذیه‌ای، بهبود تحمل به تنش‌های زیستی و استفاده بهتر از عناصر ریزمغذی می‌شود (Almagrabi and Abdelmoneim, 2012; Song *et al.*, 2011). نتایج بررسی‌ها در شرایط محدودیت آبی نشان داده است که زیست‌توده گیاه، محتوای کلروفیل و سرعت تعرق در گیاهان تلقیح شده با مایکوریزا در مقایسه با گیاهان بدون مایکوریزا بیشتر بود (Gosling *et al.*, 2012). Asensio *et al.*, 2004 و همکاران (۲۰۰۶) گزارش کرده‌اند که در شرایط محدودیت آبی، مایکوریزا از طریق افزایش دوام سطح برگ، فتوسنتز و ثبیت کربن در طول فصل، رشد را افزایش داد. عملکرد نهایی دانه را دو فرآیند فیزیولوژیک یعنی فتوسنتز جاری و انتقال مجدد مواد انباشته شده قبل از گل‌دهی تشکیل می‌دهند (Borras *et al.*, 2004). وقتی که گیاه تحت اثر تنش‌های مختلف محیطی قرار می‌گیرد، ترکیبات ذخیره شده در اندام‌های هوایی نقش مهمی را در پر کردن دانه‌ها ایفا می‌کنند (Aruna Geetha and Kumar, 2003). Thiyarajan (۲۰۰۶) بیان داشتند که با افزایش کمبود آب، سهم ماده خشک ذخیره شده در ساقه‌ها و برگ‌ها برای پر شدن دانه افزایش می‌باید. در شرایط محدودیت آبی، کاهش فتوسنتز از طریق انتقال مجدد مواد ذخیره‌ای به دلیل افزایش فعالیت آنزیم‌های هیدرولیز کننده جبران می‌شود (Yang and Zhang, 2006). Palta و همکاران (۱۹۹۴) گزارش کرده‌اند که تنش خشکی انتقال مجدد مواد ذخیره‌ای را ۳۶ درصد افزایش داد. روی یکی از عناصر مهم ریزمغذی است که در سنتز پروتئین، متابولیسم کربوهیدرات‌ها مشارکت دارد و جزء اصلی آنزیم کربنیک آنهیدراز است که در حالیت مولکول دی اکسید کربن و در نهایت فتوسنتز نقش مهمی دارد (Sainz *et al.*, 1998). مصرف همه ساله و بیش از نیاز کودهای فسفری، آبشویی، pH قلیایی و عدم مصرف کودهای حاوی عناصر ریزمغذی و کودهای آلی موجب کاهش ذخیره این عنصر در خاک و در نتیجه کاهش عملکرد شده است (ملکوتی و تهرانی، ۱۳۷۸). یکی از راههای تأمین روی مورد نیاز گیاهان محلول پاشی است. از ویژگی‌های این روش می‌توان به برطرف کردن سریع کمبود، جلوگیری از

تشبیت عنصر در خاک، آسان‌تر بودن اجرای آن، کاهش سمیت ناشی از تجمع این عناصر در خاک اشاره کرد (خوش گفتارمنش، ۱۳۸۶) و در این راستا عرضه کودهای شیمیایی به شکل نانو ذرات در مقایسه با شکل متداول و مرسوم آن‌ها از اهمیت ویژه‌ای برخوردار هستند. در نانوکودها عناصر غذایی به تدریج و به صورت کنترل شده در خاک آزاد می‌شوند و همین امر به افزایش کارایی مصرف عناصر غذایی می‌شود (Naderi and Abedi, 2012). گزارش‌های محدودی مبنی بر Prasad *et al.*, 2012; Yang *et al.*, 2006 در آزمایش Prasad و همکاران (۲۰۱۲) محلول پاشی نانوکسید روی در مرحله رشد رویشی (۳۵ و ۷۰ روز پس از کاشت) به مقدار ۲ گرم در ۱۵ لیتر آب موجب افزایش ارتفاع، تعداد نیام در بوته، وزن هزار دانه و غلظت روی در برگ و دانه بادام زمینی در مقایسه با محلول پاشی این کود به فرم معمول و با غلظت ۳۰ گرم در ۱۵ لیتر شد. Salehi و Tamaskoni (۲۰۰۸) برتری ذرات نانو را به حلالیت بیش‌تر، سبک و کوچک بودن و شانس برخورد بیش‌تر این ذرات با گیاه نسبت دادند. Dehghanian و Madandoost (۲۰۰۸) گزارش کردند که تغذیه گیاه به ویژه با روی می‌تواند موجب بهبود تحمل گیاه به محدودیت آبی شود. تریتیکاله به دامنه وسیعی از شرایط محیطی سازگاری دارد و در مقایسه با سایر گونه‌های گیاهی جزء گیاهان نیمه‌حساس به خشکی خاک محسوب می‌شود (Grzesiak *et al.*, 2003). گزارش‌ها حاکی از برتری نسبی تریتیکاله نسبت به گندم تحت شرایط تنفس رطوبتی به علت ظهر زودتر سنبله‌ها، توانایی بیش‌تر سیستم ریشه‌ای در جذب آب و درصد انتقال مجدد مواد ذخیره‌ای به دانه می‌باشد (Giunta *et al.*, 1993). سطح زیر کشت تریتیکاله در ایران حدود ۳۰ هزار هکتار می‌باشد. اهمیت تریتیکاله در استفاده دو منظوره از آن، نقش ریزمندی روی و کودهای زیستی در بهبود عملکرد و مطالعات اندک آن‌جام گرفته در خصوص بر همکنش توأم این دو عامل در شرایط محدودیت آبی از جمله عواملی بودند که موجب گردید تا اثر توأم این سه عامل بر سهم فرآیند انتقال مجدد در عملکرد دانه و برخی شاخص‌های رشدی تریتیکاله در شرایط اقلیمی اردبیل مورد ارزیابی قرار گیرد.

## مواد و روش‌ها

آزمایش در سال زراعی ۱۳۹۲ در مزرعه تحقیقاتی دانشکده علوم کشاورزی دانشگاه محقق اردبیلی اجرا گردید. آزمایش به صورت فاکتوریل در قالب طرح پایه بلوک‌های کامل تصادفی در سه تکرار اجرا گردید. فاکتورهای آزمایشی شامل، فاکتور اول محدودیت آبی در سه سطح (آبیاری کامل به عنوان شاهد، آبیاری تا ۵۰ درصد مراحل سنبله‌دهی و آبستنی)، فاکتور دوم شامل کودهای بیولوژیک در چهار سطح (عدم کاربرد کودهای بیولوژیک، کاربرد مایکوریزا، کاربرد توأم باکتری‌های سودوموناس و ازتوباکتر، کاربرد توأم مایکوریزا و باکتری‌های محرک رشد) و فاکتور سوم محلول پاشی با نانوکسیدروی در چهار سطح (صفر، ۰/۳، ۰/۶ و ۰/۹ گرم در لیتر) بودند. قارچ مایکوریزا استفاده شده در این آزمایش از نوع *mosseae* و

باکتری سودوموناس پوتیدا سویه ۱۸۶ و از توباکتر کروکوکوم سویه ۵ بودند. باکتری‌ها از مؤسسه تحقیقات آب و خاک کشور، قارچ مایکوریزا از شرکت زیست فناوران توران و بذر تریتیکاله رقم جوانیلو از مؤسسه تحقیقات نهال و بذر کرج تهیه شد. نانو اکسید روی تولید کشور چین بود که از شرکت نوتربینو تهیه شد و مشخصات آن در جدول ۱ درج شده است.

**جدول ۱: مشخصات نانو اکسید روی مورد استفاده**

وزن	خلوص	میانگین اندازه ذرات	سطح ویژه ذرات	رنگ
۱۰۰ g	۹۹ %	< ۳۰ nm	> ۳۰ m <sup>2</sup> .g <sup>-1</sup>	پودری سفید

محلول پاشی با نانو اکسید روی در دو مرحله از دوره رشد رویشی (مرحله ۴-۶ برگی و مرحله قبل از آبستنی) که به ترتیب ۳۰ و ۷۰ روز بعد از کاشت بود آن جام شد. برای تلقیح بذرها میزان هفت گرم مایه تلقیح که هر گرم آن دارای <sup>۷</sup> عدد باکتری زنده و فعال بود استفاده گردید. همچنین از محلول صمع عربی برای چسبندگی بهتر مایه تلقیح به بذرها استفاده شد. تمام بذرها به مدت دو ساعت در مایه تلقیح در شرایط تاریکی قرار گرفتند. تلقیح با قارچ مایکوریزا به روش استاندارد و توصیه شده Gianinazzi و همکاران (۲۰۰۱) آن جام شد. عملیات تهیه زمین شامل شخم بهاره، دیسک و تسطیح بود. رقم جوانیلو در کرت‌هایی به مساحت ۲/۵ مترمربع که حاوی پنج ردیف کاشت با رعایت فاصله بین خطوط ۲۰ سانتی‌متر و تراکم ۴۰۰ بذر در مترمربع کشت شد. برای برآورده میزان انتقال مجدد از اندام‌های رویشی گیاه به دانه، از یک هفته قبل از پر شدن دانه (مرحله ۶۵ از کدبندی جدول زادوکس) تا رسیدگی فیزیولوژیک (مرحله ۹۳ از کدبندی جدول زادوکس) هر چهار روز یکبار برداشت نمونه آن جام گرفت. در هر بار نمونه‌برداری پنج سانتی‌متر از خطوط اصلی کاشت برداشت شد و به ساقه، برگ و سنبله تفکیک گردید. بوته‌ها به مدت ۷۲ ساعت به منظور ثبیت وزن خشک نهایی در آون با دمای ۷۵ درجه سانتی‌گراد قرار گرفتند، میزان انتقال ماده خشک، سهم فرآیند انتقال مجدد از بخش رویشی به دانه و میزان مشارکت ذخایر ساقه در عملکرد دانه با استفاده از روابط یک تا چهار برآورد گردید (Barnett and Pearce, 1983).

رابطه ۱:  $DMT = DMA - DMM$

که در آن  $DMT^1$  میزان انتقال ماده خشک کل بر حسب گرم در مترمربع،  $DMA^2$  حداکثر میزان ماده خشک اندام هوایی در برداشت اول و  $DMM^3$  میزان ماده خشک اندام هوایی (به جز دانه) در مرحله رسیدگی فیزیولوژیک است.

رابطه ۲:  $CDMAG = DMT / GY * 100$

در این رابطه  $CDMAG^4$  سهم فرآیند انتقال مجدد ماده خشک کل در تشکیل دانه بر حسب درصد،  $DMT$  میزان

<sup>1</sup> Dry Matter Translocation

<sup>2</sup> Dry Matter at Anthesis

<sup>3</sup> Dry Matter at Maturity

<sup>4</sup> Contribution of Dry Matter Assimilates to Grain

انتقال ماده خشک بر حسب گرم در مترمربع و  $GY^1$  عملکرد دانه بر حسب گرم در مترمربع می‌باشد.

$$SDMT = SDMM - SDMA$$

رابطه ۳:

در این رابطه  $SDMT^2$  میزان انتقال ماده خشک از ساقه بر حسب گرم در مترمربع،  $SDMA^3$  حداقل وزن خشک ساقه در مرحله رسیدگی فیزیولوژیک می‌باشد.

$$CSAG = SDMT / GY * 100$$

رابطه ۴:

در این رابطه  $CSAG^4$  سهم ذخایر ساقه در عملکرد دانه بر حسب درصد،  $SDMT$  میزان انتقال ماده خشک از ساقه بر حسب گرم در مترمربع و  $GY^5$  عملکرد دانه بر حسب گرم در مترمربع می‌باشد.

برای بررسی شاخص‌های رشدی هر ده روز یک بار نمونه‌برداری به روش تخریبی صورت گرفت. هر بار ده سانتی‌متر از خطوط کاشت انتخاب و بعد از انتقال به آزمایشگاه به مدت ۷۲ ساعت و یا بیشتر (تا زمان ثبیت وزن خشک نهایی) در آون الکتریکی تهویه‌دار در دمای  $20 \pm 5$  درجه سانتی‌گراد خشک شده و با ترازوی دیجیتالی با دقت یک هزارم گرم توزین شدند. وزن خشک کل و شاخص سطح برگ با استفاده از روابط ۵ و ۶ و به صورت زیر برآورد شدند (Khandkar *et al.*, 1992)

$$TDM = e^{(a+bt+ct^2+dt^3)}$$

رابطه ۵:

$$LAI = e^{(a+bt+ct^2)}$$

رابطه ۶:

در این روابط  $a$ ,  $b$ ,  $c$  و  $d$  ضرایب معادله و  $t$  فاصله بین مراحل نمونه‌برداری است. در زمان رسیدگی تعداد ۱۰ بوته به ظاهر یکنواخت و مشابه از خطوط اصلی هر کرت و از بین بوته‌های رقابت‌کننده برداشت گردید سپس صفات مختلف مانند تعداد دانه در سنبله بر روی این بوته‌های انتخابی اندازه‌گیری و میانگین داده‌های حاصل به عنوان ارزش آن صفت در تجزیه و تحلیل داده‌ها به کار گرفته شد. برای تعیین وزن هزار دانه، چهار توده بذری ۲۵۰ تایی وزن گردید و مجموع آن‌ها به عنوان وزن هزار دانه یادداشت گردید. عملکرد دانه از سطحی معادل یک مترمربع از خطوط اصلی هر کرت بعد از حذف اثر حاشیه‌ای برآورد گردید. برای تجزیه داده‌ها از نرم‌افزار SAS و برای رسم نمودارها و شکل‌ها از نرم‌افزار Excel استفاده شد و میانگین‌ها با آزمون LSD مقایسه شدند.

## نتایج و بحث

<sup>1</sup> Grain Yield

<sup>2</sup> Stem Dry Matter Translocation

<sup>3</sup> Stem Dry Matter at Anthesis

<sup>4</sup> Stem Dry Matter at Maturity

<sup>5</sup> Contribution of Stem Assimilates to Grain

بر اساس نتایج جدول تجزیه واریانس اثر محدودیت آبی، کودهای بیولوژیک، محلول‌پاشی با نانوakkسیدروی و اثر ترکیب تیماری این سه عامل بر عملکرد، تعداد دانه در سنبله، وزن هزار دانه، وزن ریشه، میزان انتقال ماده خشک، سهم انتقال ماده خشک در عملکرد دانه، میزان انتقال ماده خشک از ساقه و سهم ذخایر ساقه در عملکرد دانه در سطح احتمال یک درصد معنی‌دار گردید (جدول ۲).

**جدول ۲: تجزیه واریانس اثر نانوakkسیدروی، کودهای بیولوژیک و محدودیت آبی بر عملکرد و برخی صفات مرتبط با عملکرد و سهم فرآیند انتقال مجدد در عملکرد دانه تریتیکاله**

منابع تغییرات	درجه آزادی	درصد	میانگین مربعات								
			عملکرد دانه	ساقه	سهم ذخایر	میزان انتقال ماده خشک از ساقه در عملکرد دانه	میزان انتقال ماده خشک در عملکرد دانه	میزان انتقال ماده خشک از ساقه	وزن هزار دانه	تعداد دانه در سنبله	
			۲/۸۲ **	۶۹/۶۳ **	۴/۷۶ **	۱۳۳/۳ **	۲۷/۲ **	۵۸/۳۴ **	۲۸۰/۱/۸۳ **	۲	R
			۲۹۲۵/۱۶ **	۴۶۲۰/۶ **	۴۵۵۴/۴۵ **	۴۱۸۵/۸۲ **	۱۶۹۲/۵۷ **	۲۸۱۸/۲۷ **	۴۵۷۱۵۴/۰۶ **	۲	I
			۵۹۷/۷ **	۱۲۶۸/۰۹ **	۹۸۳/۸۵ **	۱۵۷۶/۰۹ **	۴۹۵/۲۸ **	۲۳۷/۱۲ **	۱۰۱۵۹۶/۵۹ **	۳	F
			۴۴۱/۰۲ **	۲۱۷/۴ **	۸۶۹/۴۹ **	۳۳۱/۵۷ **	۹۵۷/۴۸ **	۵۰۳/۷۸ **	۱۰۹۲۳۸/۶۷ **	۳	Zn
			۱۹/۸۸ **	۳۴/۶ **	۱۵/۳ **	۱۵۹/۶ **	۲۱/۵۶ **	۱/۵۵ **	۶۶۲۲/۰۱ **	۶	F * I
			۱۴/۹۱ **	۶۲/۳۲ **	۳۱/۲۷ **	۵۳/۹۵ **	۵/۶ **	۱/۰۲ **	۲۰۱۲/۸۱ **	۶	Zn * I
			۲۵/۶۴ **	۱۱۷/۳۶ **	۱۵/۷۵ **	۸/۶۱ **	۱۲/۲۲ **	۳/۰۱ **	۱۸۱۲/۲۶ **	۹	F * Zn
			۶/۴۲ **	۵۳/۷۹۲ **	۲/۵۹ **	۲۸/۵۹ **	۶/۵۸ **	۲/۴۴ **	۷۶۷/۶۶ **	۱۸	F * Zn * I
			۰/۲۹	۱/۰۴	۰/۴۵	۱/۴۵	۰/۳۴	۲۳/۶۸	۱۴۲۸/۸۴	۹۴	E
			۳/۰۳	۱/۷۵	۲/۵۷	۱/۴۰۳	۱/۱۵	۱۰/۶۷	۱۰/۳۲	-	ضریب تغییرات (درصد)

ns, \*, \*\* و \*\*\*: به ترتیب عدم اختلاف معنی‌دار و اختلاف معنی‌دار در سطوح احتمال پنج و یک درصد می‌باشند.

R تکرار، I محدودیت آبی، F کودهای بیولوژیک، Zn نانوakkسیدروی و E اشتباہ آزمایشی می‌باشد.

## عملکرد کل

بیشترین عملکرد در آبیاری کامل، کاربرد توازن باکتری‌های محرک رشد و مایکوریزایی و محلول‌پاشی ۰/۹ گرم در لیتر نانوakkسیدروی (۶۶۳/۲۶ گرم در مترمربع) و کمترین آن در آبیاری تا ۵۰ درصد مرحله آبستنی، عدم کاربرد کودهای بیولوژیک و عدم محلول‌پاشی (۱۹۸/۴۶ گرم در مترمربع) بدست آمد (جدول ۳). از آنجا که عملکرد دانه تابعی از اجزای عملکرد مانند تعداد دانه در سنبله و وزن هزار دانه می‌باشد، بنابراین افزایش معنی‌دار تعداد دانه در سنبله و همچنین وزن هزار دانه در ترکیب تیماری آبیاری کامل، کاربرد توازن باکتری‌های محرک رشد و مایکوریزایی و محلول‌پاشی ۰/۹ گرم در لیتر نانوakkسیدروی موجب افزایش عملکرد دانه شده است. بخشی از افزایش عملکرد دانه در شرایط آبیاری کامل را می‌توان به افزایش شاخص سطح برگ در این تیمار به واسطه کاربرد باکتری‌های محرک رشد و مایکوریزا نسبت داد که به نظر می‌رسد این افزایش شاخص سطح برگ به دلیل افزایش فتوسنتر جاری موجب بهبود عملکرد شده است.

**جدول ۳: مقایسه میانگین اثر ترکیب تیماری محلول پاشی نانو اکسید زرگاری، کودهای بیولوژیک و محدودیت آبی بر عملکرد و برخی صفات مرتبه با عملکرد تریتیکاله**

سهم ذخایر ساقه در عملکرد (دانه (درصد))	سهم انتقال مجدد ماده خشک در عملکرد دانه (درصد)	میزان انتقال ماده خشک از ساقه (گرم در متربمربع)	میزان انتقال ماده خشک (گرم در متربمربع)	وزن هزار دانه (گرم)	تعداد دانه در سنبله	عملکرد (گرم در متربمربع)	ترکیب تیماری
۱۹/۵۷ i-l	۲۸/۹۹ g-j	۶۲/۱۶ j	۹۳/۹۷ fghi	۴۶/۴۲ pq	۴۵/۰۵ klm	۳۱۷/۶ op	I <sub>1</sub> F <sub>0</sub> ZnO <sub>0</sub>
۱۳/۱۹ p-s	۲۰ o-r	۵۴/۱۶ pq	۸۲/۱۲ o	۴۸/۸ mn	۵۰/۰۵ ef	۴۱/۰۴ gh	I <sub>1</sub> F <sub>1</sub> ZnO <sub>0</sub>
۱۳/۹۲ o-r	۱۹/۱۸ p-r	۵۴/۱ pq	۷۶/۹۶ ts	۴۸/۳۲ no	۴۶/۲۸ ij	۳۸۸/۵۳ ij	I <sub>1</sub> F <sub>2</sub> ZnO <sub>0</sub>
۱۰/۴۲ t-x	۱۶/۳۰ s-u	۴۷ uv	۷۳/۵ tu	۵۵/۳ fgh	۵۳/۱۵ d	۴۵/۰۶ f	I <sub>1</sub> F <sub>3</sub> ZnO <sub>0</sub>
۱۷/۸۵ l-n	۲۷/۰۴ l-i	۵۸/۲۲ klm	۸۸/۱۸ lm	۵۱/۴۶ l	۴۹/۲۴ g	۳۲۶/۱ nop	I <sub>1</sub> F <sub>0</sub> ZnO <sub>1</sub>
۱۱/۸۷ r-w	۱۵/۶۳ t-v	۵۷/۹۳ klmn	۷۶/۳۳ s	۵۴/۴۵ ghi	۵۱/۰۷ e	۴۸۸/۱ e	I <sub>1</sub> F <sub>1</sub> ZnO <sub>1</sub>
۱۱/۱۲ s-w	۱۸/۲۴ q-t	۴۶/۷۲ w	۷۷/۷۲ tu	۵۶/۱۸ f	۵۰/۰۷ efg	۳۹۸/۴۶ hi	I <sub>1</sub> F <sub>2</sub> ZnO <sub>1</sub>
۷/۹۵ x-z	۱۲/۸۶ v-x	۴۴/۴۶ w	۷۱/۸۶ uv	۵۸/۴۸ de	۵۵/۱۶ c	۵۵۸/۹۶ c	I <sub>1</sub> F <sub>3</sub> ZnO <sub>1</sub>
۱۳/۸۵ o-s	۲۱/۲۴ n-q	۵۶/۵ no	۸۶/۶ mn	۵۵/۵۴ fg	۵۳/۶۳ d	۴۰/۷/۷ gh	I <sub>1</sub> F <sub>0</sub> ZnO <sub>2</sub>
۹/۷۹ u-y	۱۴/۵۶ u-w	۴۸/۲۶ tu	۷۱/۷۸ uv	۵۴/۱۷ hij	۵۵/۲۵ c	۴۹۲/۷ e	I <sub>1</sub> F <sub>1</sub> ZnO <sub>2</sub>
۹/۸۶ u-y	۱۶/۸۶ r-u	۴۱/۱۶ xy	۷۰/۶۹ vw	۶۱/۹۱ c	۵۴/۹۰ c	۴۱۹/۱۳ g	I <sub>1</sub> F <sub>2</sub> ZnO <sub>2</sub>
۷/۹۳ yz	۱۱/۸۴ wx	۴۲/۶۳ x	۶۸/۲۶ xy	۶۴/۰۸ b	۵۰/۲۶ b	۵۷۶/۴۳ b	I <sub>1</sub> F <sub>3</sub> ZnO <sub>2</sub>
۱۰/۱۹ t-x	۱۸/۴۴ q-t	۴۷/۵۳ uv	۸۵/۲۱ n	۵۷/۳۲ d	۵۴/۹ c	۴۶۲ f	I <sub>1</sub> F <sub>0</sub> ZnO <sub>3</sub>
۸/۲۳ x-z	۱۱/۸۶ wx	۴۷ uv	۶۷/۷۲ xy	۶۱/۹۳ c	۵۰/۹۳ b	۵۷۰/۱۸۶ bc	I <sub>1</sub> F <sub>1</sub> ZnO <sub>3</sub>
۹/۱۷ w-y	۱۶/۴ u-w	۴۷/۵ uv	۷۱/۹۶ uv	۵۱/۴۴ b	۵۵/۴۸ c	۵۱۷/۱۳ d	I <sub>1</sub> F <sub>2</sub> ZnO <sub>3</sub>
۶/۱۶ z	۱۰/۰۵ x	۴۰/۹ y	۶۶/۶۹ y	۶۸/۳۳ a	۶۱/۲ a	۶۶۳/۱۶ a	I <sub>1</sub> F <sub>3</sub> ZnO <sub>3</sub>
۲۷/۷۱ d	۳۷/۴۶ cd	۷۰/۰۷ d	۹۵/۰۵ cdef	۴۱/۵۶ uv	۳۸/۱۱ qr	۲۵۵/۰۶ tuv	I <sub>2</sub> F <sub>0</sub> ZnO <sub>0</sub>
۱۹/۹۷ i-l	۳۰/۵۹ f-i	۶۲/۲ j	۹۵/۲۷ defg	۴۴/۶۲ rs	۴۳/۲۸ n	۳۱۱/۰۳ pq	I <sub>2</sub> F <sub>1</sub> ZnO <sub>0</sub>
۱۹/۸۷ i-l	۳۱/۰۷ e-g	۵۸ klmn	۹۷/۹۱ ij	۴۷/۳۲ tu	۳۹/۰۷ q	۲۹۹ r	I <sub>2</sub> F <sub>2</sub> ZnO <sub>0</sub>
۱۹/۹۹ o-r	۲۲/۱۴ m-o	۴۹/۲۳ t	۸۰/۰۵ pq	۴۸/۸۲ mn	۴۵/۴۷ jkl	۳۴۴/۰۳ m	I <sub>2</sub> F <sub>3</sub> ZnO <sub>0</sub>
۲۱/۹۴ g-i	۲۲/۰۷ ef	۶۵/۱ gh	۹۶/۱۱ cde	۴۴/۴۸ rs	۴۱/۱۶ op	۲۹۶/۰۶ qr	I <sub>2</sub> F <sub>0</sub> ZnO <sub>1</sub>
۱۶/۲۵ m-o	۲۵/۹ k-m	۵۹/۰۰ k	۹۱/۸۹ jk	۵۲/۴۳ kl	۴۶/۱۴ ijk	۳۶۷/۲۶ l	I <sub>2</sub> F <sub>1</sub> ZnO <sub>1</sub>
۱۸/۷۷ k-m	۲۷/۱۱ i-l	۵۷/۳۳ lmn	۸۰/۰۵ n	۴۹/۵۳ nop	۴۱/۶۵ o	۳۱۲/۱۶ pq	I <sub>2</sub> F <sub>2</sub> ZnO <sub>1</sub>
۱۱/۹۹ r-v	۱۸/۰۴ q-t	۴۷/۹۶ tu	۷۴/۱۷ t	۵۲/۶۴ kl	۴۷/۱۷ h	۳۹۹/۸ hi	I <sub>2</sub> F <sub>3</sub> ZnO <sub>1</sub>
۱۸/۱۴ k-m	۲۸/۰۹ h-k	۶۱/۱۶ j	۹۳/۹۸ fghi	۴۷/۴۸ st	۴۴/۹۴ lm	۳۳۴/۸ mno	I <sub>2</sub> F <sub>0</sub> ZnO <sub>2</sub>
۱۵/۳۳ n-p	۲۲/۴۴ mn	۵۸/۸۶ kl	۹۰ kl	۵۳/۷jk	۴۷/۰۸ h	۳۸۷/۹ ijk	I <sub>2</sub> F <sub>2</sub> ZnO <sub>2</sub>
۱۴/۸۹ o-q	۲۲/۰۷ m-p	۵۶/۷ mn	۶۸/۰ mn	۵۴/۶ ghi	۴۷/۰۴ hi	۳۸/۰/۶ jkl	I <sub>2</sub> F <sub>3</sub> ZnO <sub>2</sub>
۱۰/۳۷ t-x	۱۶/۰۲ t-v	۴۶/۷۶ uv	۷۷/۲۲ tuv	۵۵/۱۲ fgh	۴۹/۱۴ fg	۴۵/۰۶ f	I <sub>2</sub> F <sub>0</sub> ZnO <sub>3</sub>
۱۴/۸۹ o-q	۲۴/۰۱ l-n	۵۵/۲۶ op	۹۰/۶۱ k	۵۱/۴۲ l	۴۶/۱۷ hi	۳۷۱/۱ kl	I <sub>2</sub> F <sub>1</sub> ZnO <sub>3</sub>
۱۲/۰۵ q-t	۱۹/۴۹ p-s	۵۲/۶ qr	۸۱/۱۷ op	۵۸/۰۲ e	۵۰/۰۹ ef	۴۱۸/۹۶ g	I <sub>2</sub> F <sub>2</sub> ZnO <sub>3</sub>
۱۲/۴۴ q-u	۱۸/۷۹ q-t	۵۲/۰/۰ rs	۷۸/۶۱ qr	۵۸/۰۵ de	۴۹/۷/۰ fg	۴۱۸/۱۳ g	I <sub>2</sub> F <sub>3</sub> ZnO <sub>3</sub>
۹/۱۲ v-y	۱۴/۱۵ u-w	۴۵/۹۳ vw	۶۸/۹۴ wx	۶۰/۱۸ c	۵۳/۱۱ d	۴۸/۱۳ e	I <sub>2</sub> F <sub>0</sub> ZnO <sub>3</sub>
۴۰/۰۷ a	۵۴/۲۹ a	۸۱/۰ a	۱۰/۷/۸ a	۳۵/۶ x	۳۱/۱۵ v	۱۹۸/۴۶ x	I <sub>3</sub> F <sub>0</sub> ZnO <sub>0</sub>
۳۵/۱۶ b	۴۴/۴۳ b	۷۷/۰۰ b	۹۷/۱۳ c	۳۹/۴۳ w	۳۳/۰۵ u	۲۱۹/۱۶ w	I <sub>3</sub> F <sub>1</sub> ZnO <sub>0</sub>
۲۲ c	۴۴/۹۹ b	۶۷/۱۶ ef	۹۴/۴۴ efghi	۳۸/۸۲ w	۳۲۷/۷ u	۲۱۰/۰/۶ wx	I <sub>3</sub> F <sub>2</sub> ZnO <sub>0</sub>
۲۱/۲۹ h-j	۳۶/۴۲ cd	۵۰/۹۳ s	۸۷/۱۱ mn	۴۳/۸۳ s	۳۶/۷/۸ s	۲۳۹/۴ v	I <sub>3</sub> F <sub>3</sub> ZnO <sub>0</sub>
۲۴/۹۸ b	۴۵/۸۸ b	۷۶/۵۶ bc	۱۰/۰/۴ b	۳۸/۳۴ w	۳۵/۲۶ t	۲۱۹/۰/۳ w	I <sub>3</sub> F <sub>0</sub> ZnO <sub>1</sub>
۲۶/۰۳ de	۳۶/۱۹ cd	۶۸/۴ e	۹۷/۳۳ ghij	۴۵/۴۲ qr	۳۶/۹۶ rs	۲۵۸/۰/۶ tu	I <sub>3</sub> F <sub>1</sub> ZnO <sub>1</sub>
۲۶/۰۲ de	۳۹/۴۳ c	۶۷/۱۶ ij	۹۵/۲۲ defg	۴۲/۳۱ tu	۳۵/۳۷ t	۲۲۱/۶ uv	I <sub>3</sub> F <sub>2</sub> ZnO <sub>1</sub>
۲۰/۰۵ i-k	۲۸/۹۹ g-j	۶۵/۹ fg	۹۲/۹۵ ij	۴۸/۸۲ mn	۳۸/۹۶ q	۳۲/۰/۷ op	I <sub>3</sub> F <sub>3</sub> ZnO <sub>1</sub>
۲۴/۱۶ bc	۲۹/۱۳ c	۸۲/۹ a	۹۵/۰/۱ defgh	۴۰/۷۵ v	۳۶/۲۳ st	۲۲۴/۹ uv	I <sub>3</sub> F <sub>0</sub> ZnO <sub>2</sub>
۲۵/۱۱ d-f	۲۶/۱۶ cd	۶۶/۳۳ fg	۹۵/۰۵ cdef	۴۲/۳۱ st	۴۰/۰/۴ p	۲۶۴/۲ st	I <sub>3</sub> F <sub>1</sub> ZnO <sub>2</sub>
۲۴/۲۲ e-g	۲۶/۱۱ cd	۶۷/۲۳ ij	۹۳/۱۹ hij	۴۴/۳۲ rs	۳۸/۰/۹ qr	۲۵۸/۱ tu	I <sub>3</sub> F <sub>2</sub> ZnO <sub>2</sub>
۱۹/۲۳ j-l	۲۶/۸۴ j-l	۶۵/۶۳ fgh	۹۱/۵۹ jk	۵۳/۶۱ ijk	۴۱/۹۸ o	۳۴۱/۰/۳ mn	I <sub>3</sub> F <sub>3</sub> ZnO <sub>2</sub>
۲۲/۲۷ f-h	۲۴/۶۳ de	۶۵/۰/۶ gh	۹۶/۹۳ cd	۴۷/۲۵ op	۳۷/۱۵ q	۲۸۰/۰/۶ rs	I <sub>3</sub> F <sub>0</sub> ZnO <sub>3</sub>
۲۰/۰۸ h-k	۲۷/۱۱ i-l	۷۵/۱۳ c	۹۷/۷ b	۴۹/۸۴ m	۴۳/۱۸ mn	۳۶۷/۰/۳ l	I <sub>3</sub> F <sub>1</sub> ZnO <sub>3</sub>
۲۱/۹۵ g-i	۲۱/۲۱ e-h	۶۴/۱ hi	۹۱/۴۱ jk	۴۹/۷۷ m	۴۰/۰/۸ p	۲۹۲ r	I <sub>3</sub> F <sub>2</sub> ZnO <sub>3</sub>
۱۹/۰۸۶ j-l	۲۴/۶۱ lm	۷۱ d	۹۱/۰/۵ jk	۴۵/۶ ghi	۴۷/۰/۳ lm	۳۷۷/۰/۳ jkl	I <sub>3</sub> F <sub>3</sub> ZnO <sub>3</sub>
۲/۶۶	۲۳/۲۵	۱/۶۵	۱/۹۵	۱/۲۳	۱/۲۱	۱/۷/۴۴	LSD% <sub>5</sub>

میانگین‌های با حروف مشابه در هر ستون اختلاف آماری معنی‌داری با هم ندارند.

I<sub>1</sub>, I<sub>2</sub> و I<sub>3</sub>: به ترتیب آبیاری کامل، آبیاری تا ۵۰ درصد مرحله سنبله‌دهی و آبیاری تا ۵۰ درصد مرحله آبستنی. F<sub>0</sub>, F<sub>1</sub>, F<sub>2</sub> و F<sub>3</sub>: به ترتیب عدم کاربرد کودهای بیولوژیک، کاربرد مایکوریزا، کاربرد توانم باکتری‌های محرك رشد، کاربرد توانم مایکوریزا و باکتری‌های محرك رشد. ZnO<sub>1</sub>, ZnO<sub>0</sub> و ZnO<sub>3</sub>: به ترتیب عدم محلول پاشی، محلول پاشی  $\frac{۱}{۳}$ ،  $\frac{۱}{۰/۶}$  و  $\frac{۱}{۰/۹}$  گرم در لیتر نانو اکسید زرگاری

(۲۰۰۷) اظهار داشت سیستم فتوسنتزی و فعالیت آن تحت اثر عنصر روی قرار می‌گیرد و همزیستی مایکوریزایی به دلیل افزایش پتانسیل جذب ریشه گیاه و یون‌های فلزی مانند روی و آهن موجب افزایش توان فتوسنتزی گیاه در طی پر شدن دانه می‌شوند. Wright و همکاران (۱۹۹۸) اظهار داشتند که کربن اضافی ثبت شده توسط گیاهان مایکوریزایی شده به قارچ‌های مایکوریزا تخصیص می‌یابد و این قارچ‌ها با ایفای نقش مخزن اضافی برای آسیمیلات‌ها، موجب تحریک فتوسنتز گیاه می‌بازان شده و از این طریق به بهبود عملکرد کمک می‌کنند. افزایش اجزاء عملکرد را می‌توان به نقش مؤثر باکتری‌های محرک رشد در ثبت نیتروزن و رهاسازی آن در مراحل حساس رشدی نظیر ساقدهی و سنبله‌دهی نسبت داد (Kaya *et al.*, 2012). Blanco و Royo (۱۹۹۸) کاوش ۴۲ درصدی عملکرد دانه تربیتیکاله را در شرایط محدودیت آبی گزارش کردند.

#### تعداد دانه در سنبله و وزن هزار دانه

بیشترین تعداد دانه در سنبله (۶۱/۲ عدد) و نیز وزن هزار دانه (۶۸/۳۳ گرم) در آبیاری کامل، کاربرد توأم باکتری‌های محرک رشد و مایکوریزایی و محلول‌پاشی ۰/۹ گرم در لیتر نانو اکسیدروی و کمترین تعداد دانه در سنبله (۳۱/۲۵ عدد) و وزن هزار دانه (۳۵/۶ گرم) در آبیاری تا ۵۰ درصد مرحله آبستنی، عدم کاربرد کودهای بیولوژیک و عدم محلول‌پاشی به دست آمد (جدول ۳). به نظر می‌رسد در شرایط آبیاری کامل و تلقیح بذر با کودهای زیستی افزایش عرضه عناصر غذایی و مواد فتوسنتزی بهخصوص در مرحله پر شدن دانه، موجب بهبود میزان مواد ذخیره شده در دانه و همین امر منجر به افزایش وزن هزار دانه شده است. Carlier و همکاران (۲۰۰۸) نشان دادند که تلقیح بذر گندم با باکتری‌های محرک رشد می‌تواند موجب افزایش ۶ درصدی وزن هزار دانه، ۱۳ درصدی تعداد سنبله و ۳۰ درصدی تعداد دانه در سنبله شد. تحقیقات نشان داده‌اند که بین قارچ‌های مایکوریزا و باکتری‌های محرک رشد اثر متقابل مشتبی وجود دارد (Antunes *et al.*, 2005). به طوری که تلقیح بذر گندم و ذرت با باکتری آزو سپریلیوم، استقرار مایکوریزا بر آن‌ها را افزایش می‌دهد (Ibrahim *et al.*, 1990).

#### میزان انتقال مجدد ماده خشک از کل بوته و ساقه در عملکرد دانه

بیشترین میزان انتقال ماده خشک کل (۱۰۷/۶۸ گرم در مترمربع) و انتقال مجدد از ساقه (۸۱/۳ گرم در مترمربع) در ترکیب تیماری آبیاری تا ۵۰ درصد مرحله آبستنی، عدم کاربرد کودهای بیولوژیک و عدم محلول‌پاشی با نانو اکسیدروی و کمترین آن‌ها (به ترتیب با ۶۶/۶۹ گرم در مترمربع و ۴۰/۹ گرم در مترمربع) در ترکیب تیماری آبیاری کامل، کاربرد توأم مایکوریزا با باکتری‌های محرک رشد و محلول‌پاشی ۰/۹ گرم در لیتر نانو اکسیدروی به دست آمد (جدول ۳). Blum (۱۹۹۸) اظهار داشت که پس از گل‌دهی، فتوسنتز جاری و انتقال ماده خشک دو منبع اساسی در پر شدن دانه است. سهم

فتوسنتز جاری در شرایط وجود تنש‌های محیطی به واسطه پیری زودرس و ریزش برگ‌ها طی دوره پر شدن دانه کاهش می‌یابد، در حالی که تقاضای دانه‌ها برای مواد فتوسنتزی وجود دارد و در این راستا Schnyder (۱۹۹۳) معتقد است تحت شرایط تنش خشکی، فتوسنتز جاری کاهش یافته و انتقال مجدد افزایش می‌یابد. به نظر می‌رسد که کاربرد باکتری‌های محرک رشد و مایکوریزا با تعدیل اثر ناشی از محدودیت آبی موجب افزایش شاخص سطح برگ و در نتیجه بهبود فتوسنتز جاری شده است. ولی به نظر می‌رسد که در شرایط محدودیت آبی به دلیل کاهش طول دوره رشد، تسريع پیری و ریزش برگ‌های پایینی، چون سهم فتوسنتز جاری به واسطه کاهش سطح برگ کاهش می‌یابد در نتیجه بخش بیشتری از پر شدن دانه به واسطه انتقال بیشتر ماده خشک به سمت دانه تأمین می‌شود. Papakosta و Gagianas (۱۹۹۱) اظهار داشته‌اند تنش خشکی پس از گل‌دهی فتوسنتز را محدود می‌کند، در چنین شرایطی عملکرد تا حد زیادی به انتقال مجدد مواد فتوسنتزی به دانه بستگی دارد. Chevalier و Davidson (۱۹۹۲) گزارش کردند که سهم ذخایر کربوهیدراتی ساقه در عملکرد نهایی دانه در شرایط عادی حدود ۱۲ درصد و در شرایط تنش خشکی حدود ۴۰ درصد است.

#### سهم انتقال مجدد ماده خشک و ذخایر ساقه در عملکرد دانه

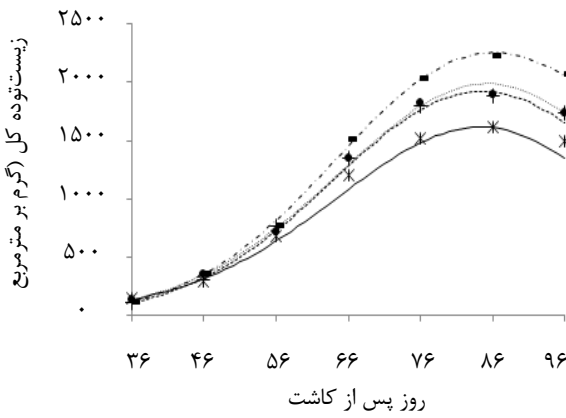
طبق نتایج حاصل از مقایسه میانگین‌ها بیشترین سهم فرآیند انتقال مجدد در عملکرد دانه (۵۴/۲۹ درصد) و میزان مشارکت ذخایر ساقه در عملکرد دانه (۴۰/۹۷ درصد) در ترکیب تیماری آبیاری تا ۵۰ درصد مرحله آبستنی، عدم کاربرد کودهای بیولوژیک و عدم محلول‌پاشی با نانواکسیدروی و کمترین آن‌ها به ترتیب با (۱۰/۰۵ درصد) و (۶/۱۶ درصد) در ترکیب تیماری آبیاری کامل، کاربرد توأم مایکوریزا با باکتری‌های محرک رشد و محلول‌پاشی ۰/۹ گرم در لیتر نانواکسیدروی مشاهده گردید (جدول ۳). بدیهی است که میزان انتقال ماده خشک و سهم این فرآیند در عملکرد دانه، بیش‌تر تحت تأثیر روابط منبع و مخزن و شرایط محیطی قرار می‌گیرد (سیدشریفی و نظرلی، ۱۳۹۲). به نظر می‌رسد که در شرایط مطلوب و دسترسی به منابع کافی، چون فتوسنتز جاری افزایش می‌یابد، در نتیجه تعادل منبع و مخزن تا حدود زیادی حفظ شده و مواد تولیدی منبع می‌تواند در مخزن مورد استفاده قرار گیرد. ولی در شرایط تنش مانند محدودیت آبی، عدم دسترسی به عناصر غذایی ممکن است تعادل منبع و مخزن را به هم بزند و در چنین شرایطی قدرت مخزن بیش‌تر از منبع بوده و به دلیل روابط فیزیولوژیکی موجود بین منبع و مخزن، منبع میزان انتقال ماده‌ی خشک را افزایش می‌دهد تا شاید بتواند بخشی از نیاز شدید مخازن (دانه‌ها) را برآورده نماید (عباسپور و همکاران، ۱۳۹۱). در طول رشد دانه گندم، ماده خشک و کربوهیدرات‌های محلول بیش‌تری از بافت‌های مختلف گیاه به سمت دانه حرکت می‌کنند که این حرکت از نظر مقدار و سهم آن در وزن دانه در شرایط تنش خشکی بیش‌تر می‌شود (Hossain *et al.*, 1990).

### زیست‌توده کل

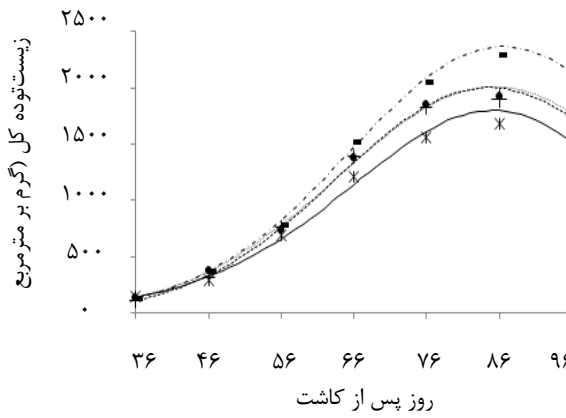
بررسی روند تغییرات ماده خشک نشان داد که در ابتدای فصل رشد در تمامی تیمارهای مورد بررسی از الگوی نسبتاً یکسانی پیروی کرد (شکل‌های ۱ و ۲). به طوری که در کلیه ترکیبات تیماری، روند تغییرات ماده خشک کل در ابتدا کند بود ولی در ادامه فصل رشد با افزایش سطح برگ و فتوسنتز گیاه، شب منحنی تجمع ماده خشک شدت بیشتری به خود گرفت و در ۸۵ روز بعد از کاشت به حداقل خود رسید، سپس در انتهای دوره رشد از روند کاهشی برخوردار گردید. به نظر می‌رسد که این کاهش در نتیجه افزایش سن گیاه، پیری برگ‌ها، کاهش کلروفیل و عدم توانایی آن‌ها در ساخت مواد فتوسنتزی و در نهایت با ریزش آن‌ها همراه باشد (کمری و همکاران، ۱۳۹۳). در کل، در حالت آبیاری کامل، کاربرد توأم کودهای بیولوژیک و محلول‌پاشی با نانواسیدروی، میزان تجمع ماده خشک نسبت به حالت محدودیت آبی، عدم کاربرد کودهای بیولوژیک و عدم محلول‌پاشی روند افزایشی نشان داد. بیشترین ماده خشک تولیدی به ترکیب تیماری آبیاری کامل، کاربرد توأم باکتری‌های محرک رشد و مایکوریزا و محلول‌پاشی ۰/۹ گرم در لیتر نانواسیدروی و کمترین آن به ترکیب تیماری آبیاری تا ۵۰ درصد مرحله آبستنی، عدم کاربرد کودهای بیولوژیک و عدم محلول‌پاشی با نانواسیدروی تعلق داشت (شکل ۱-الف و ج). نتایج مشابهی در مورد افزایش معنی‌دار زیست‌توده اندام هوایی گندم در حالت تلقیح بذر با باکتری‌های محرک رشد توسط Ravikumar و همکاران (۲۰۰۴) گزارش شده است. Boomsma و Vyn (۲۰۰۸) اظهار داشتند همزیستی مایکوریزایی با تعدیل شرایط تنفس‌های آبی توسط تغییر روابط آب گیاه و افزایش فراهمی عناصر غذایی موجب افزایش رشد و عملکرد گیاهان می‌گردد.

### شاخص سطح برگ

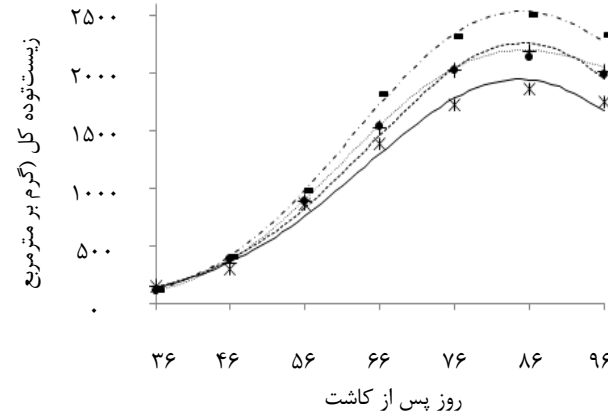
بررسی روند تغییرات شاخص سطح برگ گیاه زراعی نشان داد که در تمام ترکیبات تیماری شاخص سطح برگ تا ۷۶ روز پس از کاشت افزایش یافته و پس از آن روند نزولی داشت (شکل‌های ۳ و ۴). همان‌طور که ملاحظه می‌شود در حالت آبیاری کامل، کاربرد توأم باکتری‌های محرک رشد و مایکوریزا و محلول‌پاشی ۰/۹ گرم در لیتر نانواسیدروی شاخص سطح برگ نسبت به حالت محدودیت آبی، عدم کاربرد کودهای بیولوژیک و عدم محلول‌پاشی بیشتر است (شکل ۳-الف و ج). دلیل کاهش سطح برگ در مراحل مختلف رشد در سطوح مختلف کود زیستی تحت شرایط کم‌آبیاری نسبت به آبیاری کامل را می‌توان به کاهش مواد فتوسنتزی برای رشد و توسعه سلول‌های برگ و افزایش پیری برگ در شرایط تنفس نسبت داد (Betran *et al.*, 2003). همچنین افزایش سطح برگ تحت شرایط تنفس کم‌آبی در گیاهان کلونیزه شده با مایکوریزا و باکتری‌های محرک رشد را می‌توان به کاهش پیری برگ به واسطه افزایش تولید کلروفیل یا کاهش تخرب آن نسبت داد (Boomsma and Vyn, 2008).



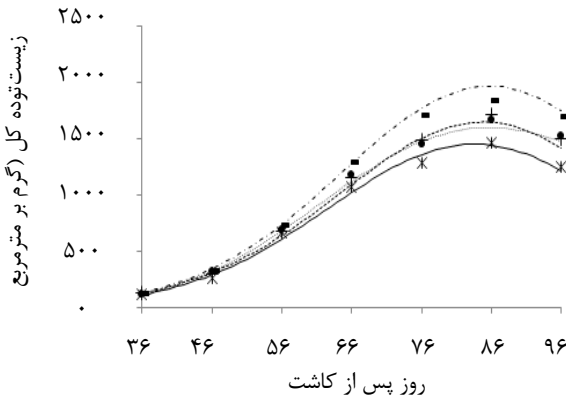
پ) آبیاری کامل و محلول پاشی با  $\frac{1}{3}$  گرم در لیتر نانو اکسید روی



ب) آبیاری کامل و محلول پاشی با ۶٪ گرم در لیتر نانواکسیدروی



روز پس از کاشت



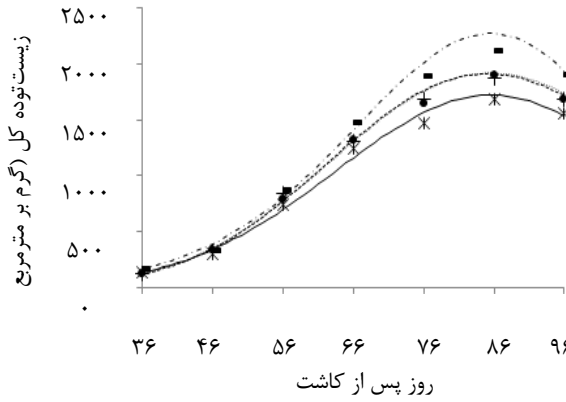
ث) آبیاری تا ۵٪ سنبله‌دهی و محلول پاشی با ۰/۹ گرم در لیتر نانوکسیدرروی (ج) آبیاری تا ۵٪ سنبله‌دهی و محلول پاشی با ۰/۶ گرم در لیتر نانوکسیدرروی

— مقادیر پیش‌بینی شده (عدم کاربرد کودهای پیولوژیک)

مقدار بیشترین شده (کاربرد ته‌آم باکتری‌های از ته‌آکت و سودوموناس).

مقدار و شاخص شدن (عده کالا و کمدهای بهداشتی)،

مقدادین مشاهده شده (کاربرد تمدن اسلامی اقتدارهای انتہاگذار و سعدومعنان) +



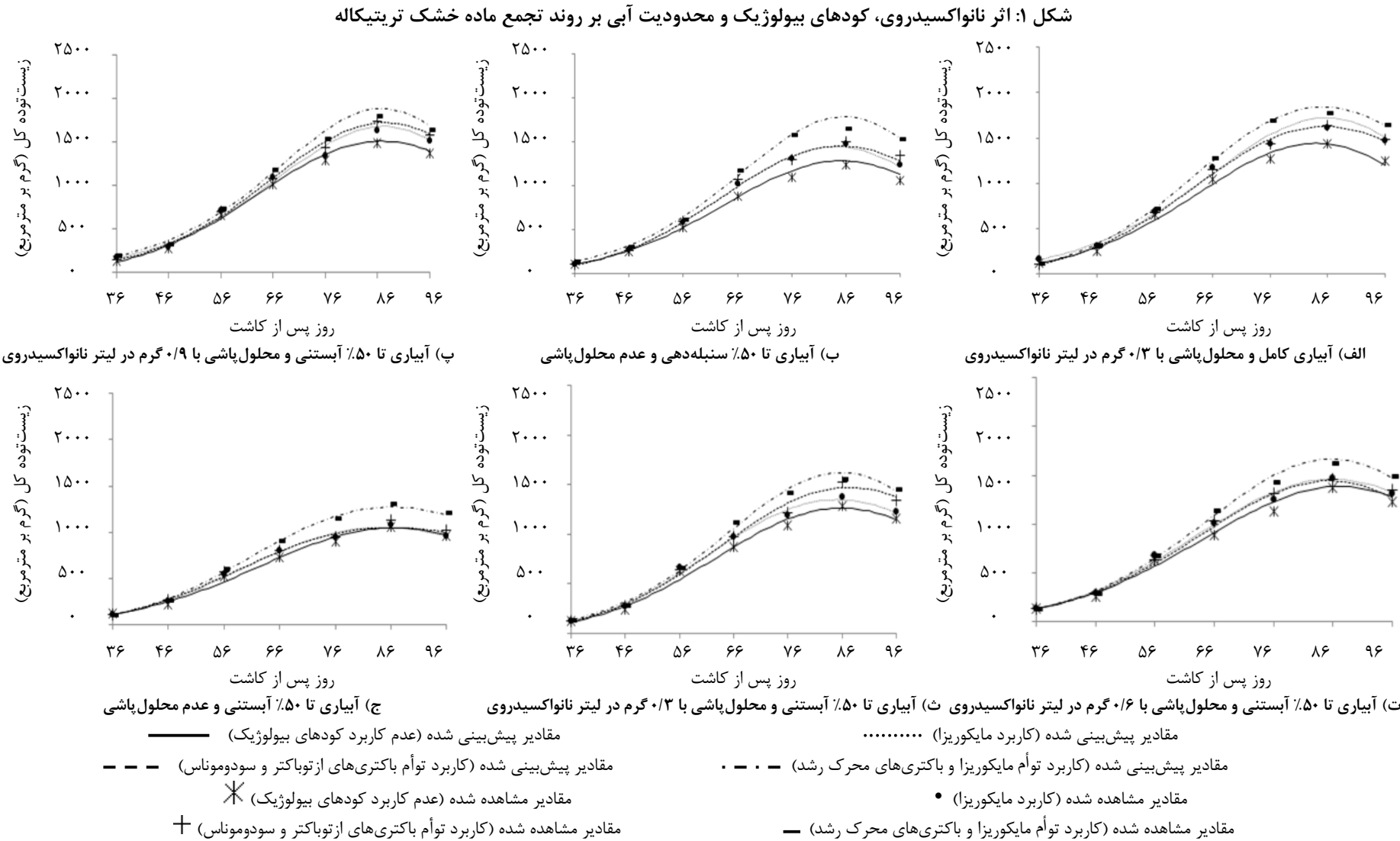
ث) آبیاری تا ۵۰٪ سنبله‌دهی و محلول پاشی با

..... مقادیر پیش‌بینی شده (کاربرد مایکوریزا)

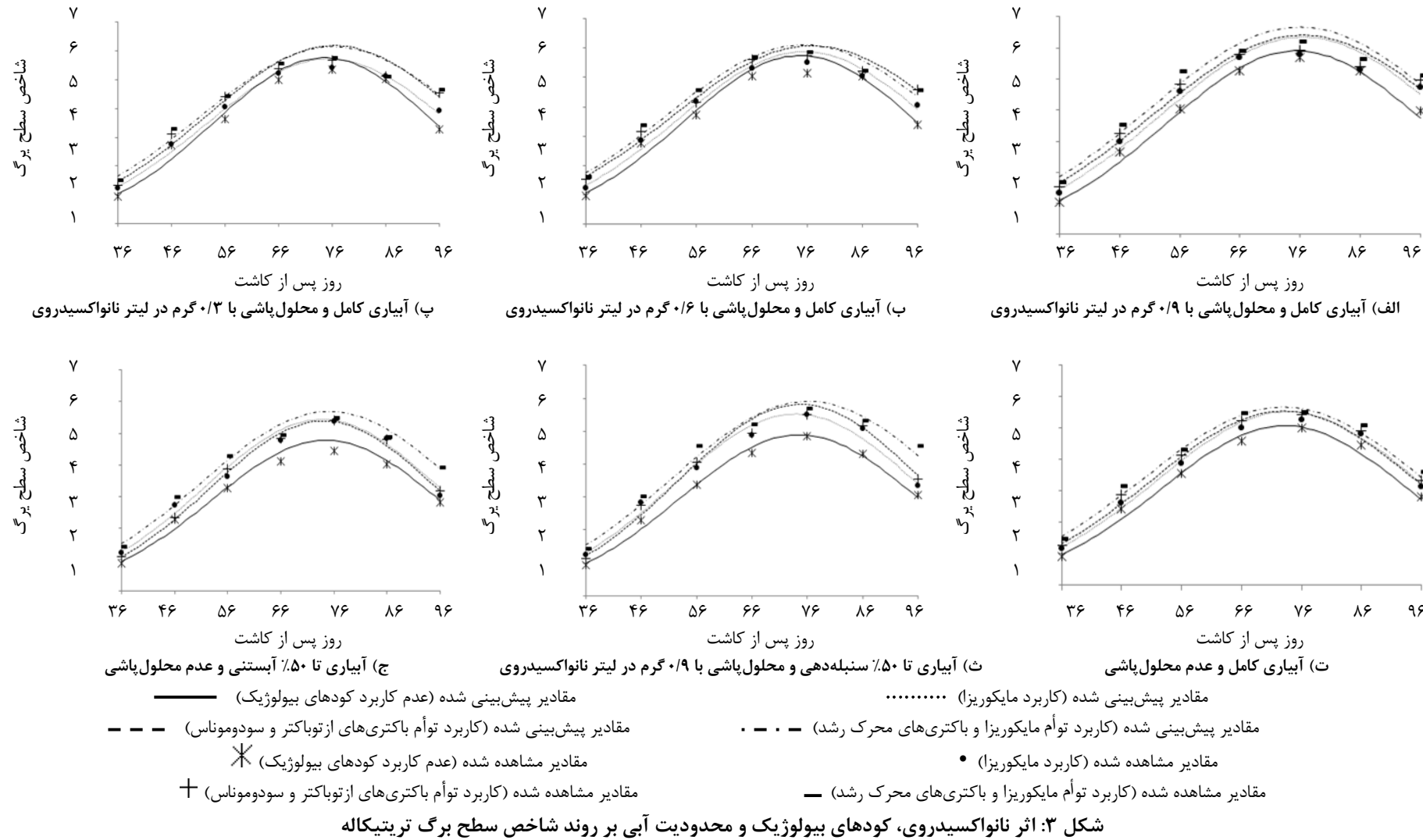
مقادیر بیش بینه شده (کاربرد تهام مایکرو بنا و یا کتی های محک ،شد) = = =

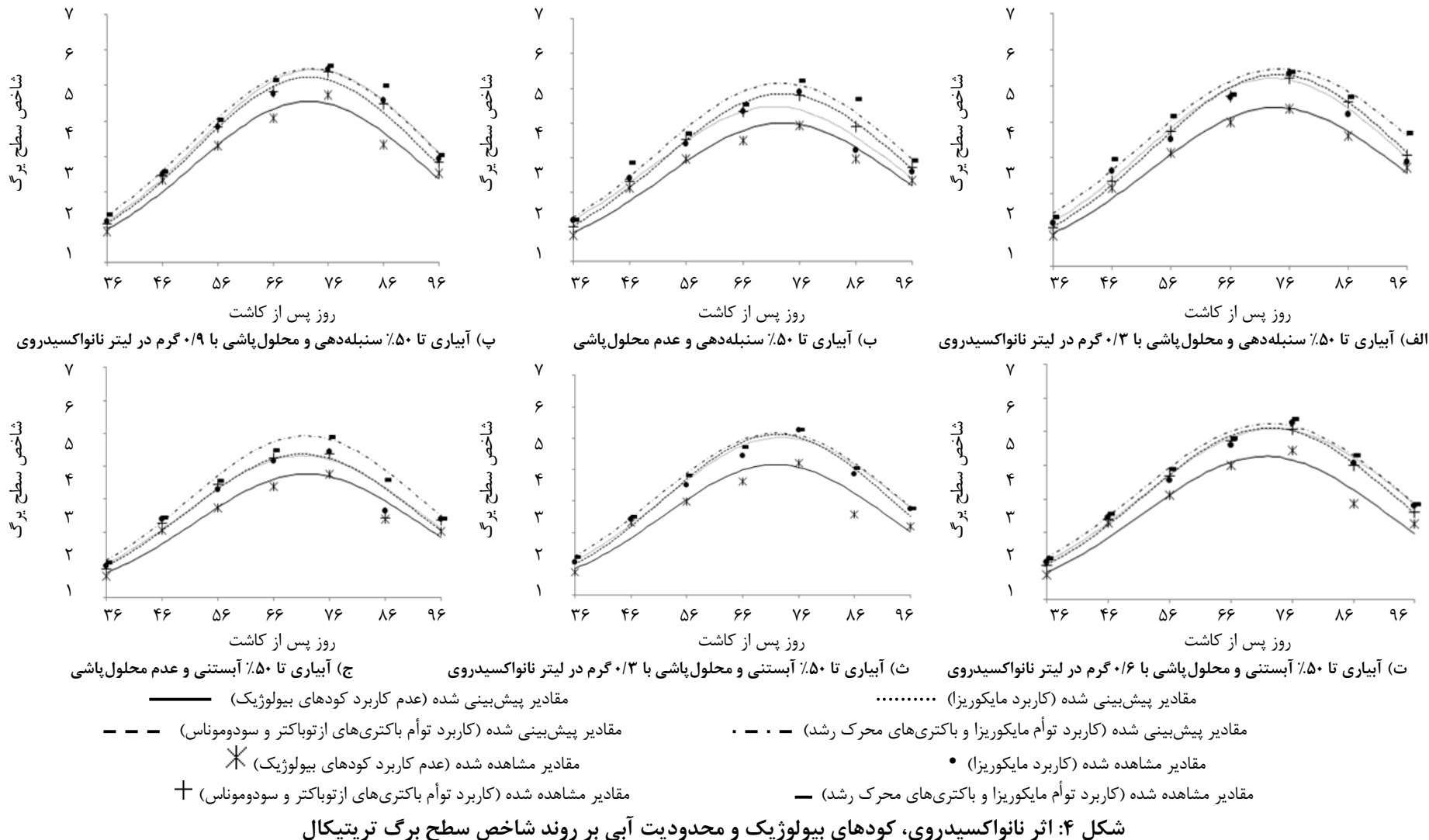
• مقدمہ اور شاہد شاہ (کارڈ مالکوں) •

مقادیر مشاهده شده (کاربرد تأمین مالکین زنا و اکتفیهای محکم شدن) —



شکل ۲: اثر نانو اکسیدروی، کودهای بیولوژیک و محدودیت آبی بر روند تجمع ماده خشک تریتیکاله





نتایج نشان داده است که همبستگی مثبتی بین شاخص سطح برگ و عملکرد ماده خشک وجود دارد، بهطوری که افزایش شاخص سطح برگ گیاه به دلیل افزایش جذب نور و ظرفیت فتوسنترزی گیاه موجب افزایش عملکرد اقتصادی می‌گردد (ساجدی و اردکانی، ۱۳۸۶). خرمدل و همکاران (۱۳۸۷) بیان داشتند که تلقیح بذور سیاهدانه با کودهای زیستی موجب افزایش معنی‌دار شاخص سطح برگ، حداکثر تجمع ماده خشک، سرعت رشد محصول و در نتیجه عملکرد گیاه در مقایسه با شاهد می‌گردد. تنש کم‌آبی از عوامل اثرگذار بر توسعه سطح برگ می‌باشد (Gutierrez Boem and Thomas, 2001). به نظر می‌رسد مایکوریزا نیز در شرایط آبیاری نرمال با اثر مثبتی که در جذب روی دارد و روی با نقشی که در ساخته شدن آنزیمهای مسئول فتوسنترز، سوت و ساز دارد موجب بالا بردن شاخص سطح برگ در گیاه شده است (Saia et al., 2012).

### نتیجه‌گیری

با افزایش محدودیت آبی عملکرد، اجزای عملکرد، شاخص سطح برگ و زیست‌توده کل کاهش و میزان انتقال مجدد ماده خشک از کل بوته و ساقه در عملکرد دانه افزایش یافت. کاربرد کودهای زیستی و محلول‌پاشی با نانواسیدروی در مقایسه با عدم کاربرد آن‌ها منجر به افزایش عملکرد و اجزای عملکرد دانه گردید. بهطوری که بیشترین عملکرد و اجزای عملکرد دانه در حالت کاربرد توأم مایکوریزا با باکتری‌های محرک رشد، محلول‌پاشی ۹٪ گرم در لیتر نانواسیدروی و آبیاری کامل مشاهده گردید. بیشترین میزان انتقال مجدد ماده خشک از کل بوته و ساقه در عملکرد دانه در حالت عدم کاربرد کودهای زیستی، عدم محلول‌پاشی و آبیاری تا ۵۰ درصد مرحله آبستنی به دست آمد و به نظر می‌رسد که در شرایط محدودیت آبی به دلیل کاهش طول دوره رشد، تسریع پیری و ریزش برگ‌های پایینی، چون سهم فتوسنترز جاری به واسطه کاهش سطح برگ کاهش می‌یابد در نتیجه بخش بیشتری از پر شدن دانه به واسطه انتقال بیشتر ماده خشک به سمت دانه تأمین می‌شود. به نظر می‌رسد محلول‌پاشی با نانواسیدروی و کاربرد توأم مایکوریزا با باکتری‌های محرک رشد می‌تواند در بهبود عملکرد، زیست‌توده کل و شاخص سطح برگ در شرایط محدودیت آبی مؤثر واقع شود.

### منابع

- خرمدل، س.، کوچکی، ع.، نصیری محلاتی، م. و قربانی، ر. ۱۳۸۷. اثر کاربرد کودهای بیولوژیک بر شاخص‌های رشدی سیاهدانه. مجله پژوهش‌های زراعی ایران، ۶(۲): ۲۹۴-۲۸۵.
- خوش‌گفتارمنش، ا.ح. ۱۳۸۶. مبانی تغذیه گیاهی. انتشارات دانشگاه صنعتی اصفهان. ۴۶۲ ص.

ساجدی، ن.ع. و اردکانی، م.ر. ۱۳۸۶. اثر مقادیر مختلف کود نیتروژن، روی و آهن بر شاخص‌های فیزیولوژیک ذرت

علوفه‌ای در استان مرکزی. مجله پژوهش‌های زراعی ایران. ۶ (۱): ۱۱۰-۹۹.

سیدشریفی، ر. و نظرلی، ح. ۱۳۹۲. تأثیر پرایمینگ بذر با باکتری‌های محرک رشد PGPR بر عملکرد دانه، کارایی مصرف کود و انتقال مجدد ماده خشک آفتتابگردان در سطوح مختلف کود نیتروژن. نشریه دانش کشاورزی و تولید پایدار. ۲۳ (۳): ۴۵-۲۷.

عباس‌پور، س.، سیدشریفی، ر. و برمکی، م. ۱۳۹۱. تأثیر مقدار نیتروژن و پرایمینگ بذر با باکتری‌های محرک رشد بر عملکرد و برخی خصوصیات زراعی تریتیکاله. پایان‌نامه کارشناسی ارشد. دانشگاه محقق اردبیلی، دانشکده کشاورزی. ۱۲۶ ص.

کمری، ح.، سیدشریفی، رئوف. و صدقی، م. ۱۳۹۳. تأثیر تلقیح با باکتری‌های محرک رشدی و نانواسیدروی بر عملکرد، دوره پر شدن دانه و برخی صفات مورفو‌فیزیولوژیک تریتیکاله. پایان‌نامه کارشناسی ارشد. دانشگاه محقق اردبیلی. ۱۳۹ ص.

ملکوتی، م.ج. و تهرانی، م.م. ۱۳۷۸. نقش ریزمغذی‌ها در افزایش عملکرد و بهبود کیفیت محصولات کشاورزی. مرکز نشر آموزش کشاورزی. ۱۷۶ ص.

**Abraham, C.P., Viswagith, V., Prabha, S., Sundhar, K. and Malliga, P. 2007.** Effect of coir pith based cyanobacterial basal and foliar biofertilizer on *Baseella rubra* L. *Acta Agriculturae Slovenica*. pp: 59-63. Academy of Science 91: 11-17.

**Almagrabi, O.A. and Abdelmoneim, T.S. 2012.** Using of Arbuscular mycorrhizal fungi to reduce the deficiency effect of phosphorous fertilization on maize plants (*Zea mays* L.). *Life Science Journal* 9 (4): 1648-1654.

**Antunes, P.M., Deaville, D. and Goss, M.J. 2005.** Effect of two AMF life strategies on tripartite symbiosis with *Bradyrhizobium japonicum* and soybean. *Mycorrhiza*. Issue: Online First. Published online.

**Aruna Geetha, S. and Thiagarajan, T.M. 2003.** Remobilization of nitrogen in rice genotypes. *Crop Research* 25: 406-409.

**Asensio, D.F., Rapparini, J. and Penuelas, J. 2012.** AM fungi root colonization increases the production of essential isoprenoids vs nonessential isoprenoids especially under drought stress conditions or after jasmonic acid application. *Phytochemistry* 77: 149-161.

**Barnett, K.H. and Pearce, P.B. 1983.** Source-Sink ratio alteration and its effect on physiological parameters in maize. *Crop Science* 23: 294-299.

- Ben Ghnaya, A.** 2007. Morphological and physiological characteristics of rapeseed plants regenerated in vitro from thin cell layers in the presence of zinc. *Plant Biology* 330: 728-734.
- Betran, F.J., Beck, D., Bänziger, M. and Edmeades, G.O.** 2003. Secondary traits in parental inbreds and hybrids under stress and non-stress environments in tropical maize. *Field Crops Research* 83: 51-65.
- Blum, A.** 1998. Improving wheat grain filling under stress by stem reserves mobilization. *Euphytica* 100: 77-83.
- Boomsma, C.R. and Vyn, T.J.** 2008. Maize drought tolerance: Potential improvements through arbuscular mycorrhizal symbiosis. *Field Crops Research* 108: 14-31.
- Borras, L., Slafer, G.A. and Otegui, M.E.** 2004. Seed dry Weight response to source-sink manipulation in wheat, maize and soybean: a quantitative reappraisal. *Field Crop Research* 86: 131-146.
- Carlier, E., Rovera, M., Jaume, A.R. and Rosas, S.B.** 2008. Improvement of growth, under field conditions, of wheat inoculated with *Pseudomonas chlororaphis* subsp. *Aurantiaca*. *World Journal of Microbiology and Biotechnology* 24: 2653-2658.
- Davidson, D.J. and Chevalier, P.M.** 1992. Storage and remobilization of water-soluble carbohydrates in stems of spring wheat. *Crop Science* 32: 186-190.
- Dehghanian, M. and Madandoost, M.** 2008. Effect of Zn chelate on drought tolerance in wheat. *Journal Agriculture and natural Resources. Science and Technology* 45: 393-400.
- Gianinazzi, S., Schuepp, H., Barea, J.M. and Haselwandter, K.** 2001. Mycorrhizal technology in agriculture: from genes to bioproducts. Birkhauser, Basel. ISBN: 376436858. Also in: *Mycorrhiza*. 13: 53-54. Lovato, P. Book review.
- Giunta, F., Motzo, R. and Deidda, M.** 1993. Effect of drought on yield and yield components of durum wheat and *triticale* in a Mediterranean environment. *Field Crops Research* 33: 399-409.
- Gosling, P., Hodge, A., Goodlass, G. and Bending, G.D.** 2006. Arbuscular mycorrhiza fungi and organic farming. *Agriculture, Ecosystems and Environment* 113: 17-35.
- Grzesiak, S., Grzesiak, M.T., Filek, W. and Stabryta, J.** 2003. Evaluation of physiological screening tests for breeding drought resistant *triticale* (*Triticosecale* x *Wittmack*). *Acta Physiologiae Plantarum*. 25(1): 29-37.
- Gutirrez-Boem, F.H. and Thomas, G.W.** 2001. Leaf area development in soybean as affected by phosphorus nutrition and water deficit. *Journal of Plant Nutrition* 24(11): 1711-1729.
- Hossain, A.D., Sear, S.R.G., Cox, T.S. and Paulson, G.M.** 1990. Dessication tolerance and its relationship to assimilate partitioning in winter wheat. *Crop Science* 30: 622-627.
- Ibrahim, M.A., Campbell, W.F., Rupp, L.A. and Allen, E.B.** 1990. Effects of mycorrhizae on sorghum growth, photosynthesis and stomatal conductance under drought conditions. *Arid Soil Research and Rehabilitation* 4: 99-107.

- Karakurt, H. and Kotan, R.** 2011. Effects of plant growth promoting rhizobacteria on fruit set, pomological and chemical characteristics,color values, and vegetative growth of sour cherry (*Prunuscerasuscv. Kütahya*). *Turkish Journal of Biology* 35: 283-291.
- Kaya, Y.K., Arisoy, R.Z. and Gocmen, A.** 2002. Variation in grain yield and quality traits of bread wheat genotypes by zinc fertilization. *Pakistan Journal of Botany* 1: 142-144.
- Khandkar, U.R., Jain, N.K. and Shinde, D.A.** 1992. Response of irrigated wheat to ZnS<sub>0</sub><sub>4</sub> application in vertisol. *Journal of the Indian Society of Soil Science* 40:399-400.
- Kumar, R., Sarawgi, A.K., Ramos, C., Amarante, S.T., Ismaeil, A.M. and Wade, L.J.** 2006. Partitioning of dry matter during drought stress in rainfed lowland rice *Field Crop Research* 96: 455-465.
- Naderi, M.R. and Abedi, A.** 2012. Application of nanotechnology in agriculture and refinement of environmental pollutants. *Nanotechnology Journal* 11(1): 18-26.
- OConnell, P.F.** 1992. Sustainable agriculture-a valid alternative. *Outlook on Agriculture* 21: 5-12.
- Palta, J.A., Kobata, T., Turner, N.C. and Fillery, I.R.** 1994. Remobilization of carbon and nitrogen in wheat as influenced by postanthesis water deficits. *Crop Science* 334: 118-124.
- Papakosta, D.K. and Gagianas, A.A.** 1991. Nitrogen and dry matter accumulation, remobilization, and Losses for Mediterranean wheat during grain filling. *Agronomy Journal* 83: 864-870.
- Prasad, T.N., Sudhakar, P., Sreenivasulu, Y., Latha, P., Munaswamy, V., Raja Reddy, K., Sreeprasad, T.S. and Sajanlal, P.R.** 2012. Effect of nanoscale Zinc-oxide particles on the germination, growth and yield of peanut. *Journal of Plant Nutrition* 35: 905-927.
- Ravikumar, S., Kathiresan, K., Ignatiammal, S.T.M., Selvam, M.B. and Shanthi, S.** 2004. Nitrogen. fixation *Azotobacters* from mangrove habitat and their utility as marine biofertilizers. *Journal of Experimental Marine Biology and Ecology* 15: 157-160.
- Royo, C. and Blanco, R.** 1998. Use of potassium iodide to mimic drought stress in *triticale*. *Field Crops Research* 59: 201-212.
- Saia, S., Ruisi, P., García-Garrido, J.M., Benítez, E., Amato, G. and Giambalvo, D.** 2012. Can arbuscular mycorrhizal fungi enhance plant nitrogen capture from organic matter added to soil? 17th Nitrogen Workshop. 26-29 June. Wexford, Ireland.
- Sainz, M.J., Taboada-Castro, M.T. and Vilarino, A.** 1998. Growth, mineral nutrition and mycorrhizal colonization of red clover and cucumber plants grown in a soil amended with composted urban wastes. *Plant Soil* 205(1): 85-92.
- Salehi, M. and Tamaskoni, F.** 2008. Effect nanocid at seed treatment on germination and seedling growth of wheat under salinity. *Seed Science and Technology* 2: 204-209.

- Schnyder, H.** 1993. The role of carbohydrate and redistribution in the source-sink relation of wheat and barley during grain filling- a review. *New Phytologist* 123: 233-245.
- Song, F., Song, G., Dong, A. and Kong, X.** 2011. Regulatory mechanisms of host plant defense responses to arbuscular mycorrhiza. *Acta Ecologica Sinica* 31: 322–327.
- Wright, D.P., Scholes, J.D. and Read, D.J.** 1998. Effects of VA mycorrhizal colonization on photosynthesis and biomass production of *trifolium repense* L. *Plant Cell Environment* 21: 209-216.
- Yang, F., Hong, F.S., You, W.J., Liu, C., Wu, C. and Yang, P.** 2006. Influences of nanoanatase TiO<sub>2</sub> on the nitrogen metabolism of growing spinach. *Biological Trace Element Research* 110: 179-190.
- Yang, J. and Zhang, J.** 2006. Grain filling of cereals under soil drying. *New Phytologist* 169: 223-236.